

## 층상 구조를 가진 망간산화물의 전자구조 계산

박기택

국민대학교 물리학과, 서울 136-702

(1999년 3월 16일 받음, 1999년 5월 7일 최종수정본 받음)

층상 페로브스카이트형 구조를 가진 망간 산화물의 전자구조를 이해하기 위하여 단일 층상을 가진  $\text{LaSrMnO}_4$ 의 전자구조를 제1원리의 국소 밀도 범함수 이론을 근거로 사용하는 Full Potential Linearized Augmented Plane Wave(FLAPW) 방법으로 구하였다. 또한 홀 농도 변화에 따른 자기구조의 변화의 이해를 위해  $\text{Mn}^{4+}$ 의  $\text{Sr}_2\text{MnO}_4$ 의 전자구조 계산을 행하여 전자구조를 비교하였다. 총에너지 계산 결과,  $\text{LaSrMnO}_4$ 는 면내의 반강자성 구조가 강자성 구조보다 더 낮은 에너지를 가지고 있었다. 또한, Mn-O 팔면체의 c축으로의 야인-텔러 왜곡(Jahn-Teller distortion)에 의해 에너지 갭이 나타나며, 이에 따른  $3z^2 - r^2$  궤도 정렬에 의해 2차원 면내의 반강자성 상태가 안정됨을 볼 수 있었다.

### I. 서 론

페로브스카이트형 전이금속 산화물은 전이금속 물질에 따라 초전도성 물질, 강유전체등 여러 종류의 성질을 가진 신소재를 만들어 왔다. 또한 희토류 금속의 치환에 의해 전자 수를 조절하고 전이금속과 산소의 거리의 변화를 인위적으로 조절하여 광범위하게 전자상태의 변화를 연구할 수 있었다. 그 중 망간 산화물( $\text{La}_{1-x}\text{Ca}_x\text{MnO}_3$ )은 거대자기 저항 효과가 발견되어 최근 자기 메모리와 스위칭 디바이스에 연관하여 활발한 연구가 이루어지고 있다[1]. 또한 홀 농도 x의 변화에 의해 자기구조의 변화와 결정구조의 변화를 동반하여 크게 관심을 모으고 있다[2].

최근 Tokura 그룹은 층상 구조를 가진 페로브스카이트형 망간 산화물에서도 거대자기저항 효과를 가지는 것을 발견하여 새로운 관심을 모으고 있다[3]. 이 물질은 고온 초전도 물질  $\text{La}_{1-x}\text{Sr}_x\text{CuO}_4$ 와 같은 층상 구조를 가지며 층상의 수에 따라 2차원적 구조에서 3차원적 구조로의 변화를 보여준다.

특히 두 층상을 가진  $\text{La}_{2-2x}\text{Sr}_{1+x}\text{Mn}_2\text{O}_7$  물질에서 거대 자기저항 효과를 가지며 홀 농도 x의 변화에 의해 강자성에서 반강자성으로의 자기구조 변화를 보여주고 있다. 이와 같은 자기구조 변화는 층상간의 이중교환상호작용으로 보여지고 있어 물리적으로 자기적 기초 연구에 큰 관심이 모아지고 있으며, 또한, 층상 구조를 가지고 있기에 여러 다른 층상의 치환이나 삽입에 의한 효과를 기대할 수 있다.

그러나, 이러한 층상 페로브스카이트형의 망간 산화물에 대한 전자구조의 이해는 이론적으로 전혀 시도 되고 있지 않으며, 이전의 3차원 망간 산화물과의 비교 연

구도 이론적으로 이루어지고 있지 않다. 따라서 본 논문에서는 층상구조를 가진 망간 산화물의 기본적 전자구조를 연구하였다. 층상 페로브스카이트형 구조를 가진 망간 산화물의 전자구조를 이해하기 위하여  $\text{LaMnO}_3$ 와 같이  $\text{Mn}^{3+}$ 를 가지는 단일 층상을 가진  $\text{LaSrMnO}_4$ 의 전자구조를 제1원리의 국소 밀도 범함수 이론[4]을 근거로 사용하는 Full Potential Linearized Augmented Plane Wave(FLAPW) 방법[5, 6]을 이용하여 계산하였다.

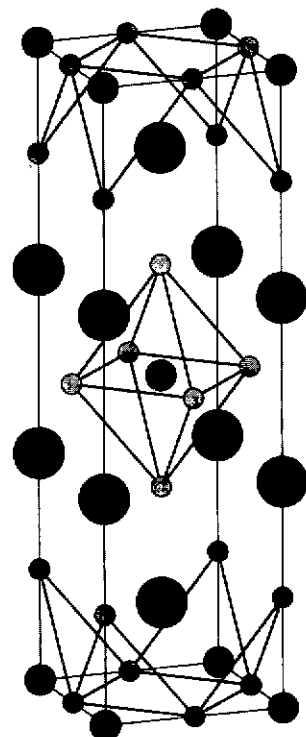
i) FLAPW 방법은 고체내의 퍼텐셜과 전하밀도를 아무런 근사 없이 수치적으로 구하기 때문에, 층상 구조를 가진 물질에서 전이금속이 포함된 경우에 가장 적합한 방법이라 할 수 있다. 또한 홀 농도 변화에 따른 자기구조의 변화의 이해를 위해  $\text{Mn}^{4+}$ 의  $\text{Sr}_2\text{MnO}_4$ 의 전자구조 계산을 행하여 자기적 구조를 연구하였으며, 총에너지 계산을 통하여  $\text{LaSrMnO}_4$ 의 자기구조 안정성을 계산하고  $\text{LaMnO}_3$ 와 비교하였다.

### II. 결정구조와 연구방법

#### 2.1 결정 구조

$\beta-\text{Sr}_2\text{MnO}_4$ 는 체심 정방구조의  $\text{K}_2\text{NiF}_4$  형태의 결정 구조를 가지며(공간군 I4/mmm), 이것의 a와 c축의 길이는 각각 3.791, 12.43 \AA인 층상 구조를 가지고 있다[7].

반강자성 일 때의 자기구조는 면내에서 반강자성 구조를 가지고 있어  $\sqrt{2}a$ ,  $\sqrt{2}b$ , c의 단위 셀을 가져, 상자성 일 때보다 2배의 단위셀을 포함하고 있다. Mn-O 원자가 이루고 있는 팔면체에서 ab면 내의 산소 원자를  $O_{1,2}$  축 방향의 정점의 산소를  $O_2$ 이라 하였다.  $\text{K}_2\text{NiF}_4$  구조는



**Fig. 1.** The crystal structure of  $K_2NiF_4$ , the black, grey and white spheres represent La or Sr, Mn and O atom, respectively.

Fig. 1에 표시하였다.

$\text{LaSrMnO}_4$ 는  $\beta\text{-Sr}_2\text{MnO}_4$ 와 같은 결정, 자기 구조를 가지고 있으며  $a$ 와  $c$ 축의 길이는 각각 3.794, 13.09 Å이다 [8]. 같은  $Mn^{3+}$ 을 가지는 직방구조의  $\text{LaMnO}_3$ 는 A-type의 반강자성 구조를 가지며  $Mn\text{-O-Mn}$  각도가 160도를 이루는데 반해 단일 층상의 망간산화물은 180도의  $Mn\text{-O-Mn}$  형태를 이루고 있다. 그리고,  $\beta\text{-Sr}_2\text{MnO}_4$ 과 비교할 때. 이온 크기가 비슷한 La원자를 치환하였어도  $a$ 축의 길이는 변화가 없는데 반해,  $c$ 축이 크게 늘어 나는 것을 보이고 있다. 이에 따라 결정 내의  $Mn\text{-O}$  팔면체는  $Mn$ 의 이온 상태가  $Mn^{4+}$ 에서  $Mn^{3+}$ 로 변화되며, 모양도  $c$  방향으로 길어진 형태의 팔면체를 가지게 된다.  $Mn\text{-O}$  팔면체에서 각각의 원자 사이의 거리를 Table I에 표시하였다. 이 표에서  $Mn^{3+}$ 가를 가진 망간 산화물은 야안-텔러 왜곡(Jahn-Teller distortion)에 의해  $c$ 축 방향이 길게 늘어난 팔면체를 가지고 있는 것을 볼 수 있다. 이것은 xy 평면에서 다른  $Mn\text{-O}$  거리(1.91, 2.06 Å)를 가지고  $c$ 축 방향으로 짧은  $Mn\text{-O}$  거리(1.96 Å)를 가지는  $\text{LaMnO}_3$ 와는 다른 형태의 야안-텔러 왜곡의 형태를 가지고 있다.

**Table I.** The crystal and magnetic structure of perovskite mangan oxides

	$\text{Sr}_2\text{MnO}_4$	$\text{LaSrMnO}_4$	$\text{LaMnO}_3$
phase	tetragonal AF( $Mn^{4+}$ )	tetragonal AF( $Mn^{3+}$ )	orthorhombic AF( $Mn^{3+}$ )
$Mn\text{-O}_1$ (Å)	1.962	2.285	2.18
$Mn\text{-O}_2$ (Å)	1.896	1.897	1.91, 1.96
c/a	3.299	3.458	

## 2.2 연구방법

전자구조를 계산하기 위해 범밀도 함수 이론을 기본으로 하는 FLAPW 방법을 이용하였다[5]. 이 계산에서 펴텐살이나 전하의 모양을 근사하지 않았으며, 교환 상관 펴텐셜(exchange-correlation potential)은 Hedin-Lundqvist 형태를 사용하였다. FLAPW 계산에서 원자의 muffin-tin 반경은 각 원자의 이온반경. 갖고 있는 전자수, 원자의 종류등을 고려하여 각각  $\text{La}, \text{Sr} : 3.0$  a.u., 2.0 a.u. 및  $\text{O} : 1.5$  a.u.으로 잡았다.

이 때 못줄이는 브릴루昂 영역(Irreducible Brillouin Zone) 내의 k-point의 수는 40개로 모든 경우에서 일정하게 유지하고, 평면파 기저 함수의 수는 약 930개로 놓고 계산하였고, 구 내부의 전하와 펴텐셜을 위한 구면 기저함수는 각운동량 8까지 전개하였다.  $\text{LaSrMnO}_4$ 를 계산할 때 La원자와 Ba원자의 펴텐셜을 가결정근사(virtual crystal approximation)을 사용하여 하였다. 이것은 실험적으로 두 원자의 배열은 규칙적인 배열을 가지고 있지 않으며, 이 원자들의 영향은 펴르미 준위 근처에서 멀리 떨어져 최외각 전자가단이 영향을 주기 때문이다.

## III. 결과 및 논의

Fig. 2은  $\beta\text{-Sr}_2\text{MnO}_4$ 의 전상태밀도(total density of states, TDOS)와  $Mn, \text{O}_1, \text{O}_2$  Muffin-tin 구 내부의 상태밀도(projected density of states, PDOS)를 표시하였다.  $Mn$ 의 PDOS를 보면, 팔면체에서  $Mn\text{-O}_1$ 의 거리와  $Mn\text{-O}_2$  원자 사이의 거리가 비슷하기 때문에 입방체의 페로브스카이트 같이  $t_{2g}, e_g$  두 피구조로 나누어져 있다. 여기에서  $t_{2g}$  성분의 상태밀도는  $e_g$  성분의 상태밀도보다 국체되어 있는 것을 보여준다. 또한 면내의 산소( $\text{O}_1$ )은  $Mn$  원자와 강하게 결합하고 있어 넓은 에너지 영역에서의 상태밀도가 펴져 있는 반면에, 정점의 산소( $\text{O}_2$ )는 국체되어 있으며,  $\text{O}_1$  보다 높은 에너지 영역에 존재하고 있다.  $Mn$  원자의 최외각은  $4s^2 3d^5$ 로 이루어져 있어  $Mn^{4+}$  일 경우 3

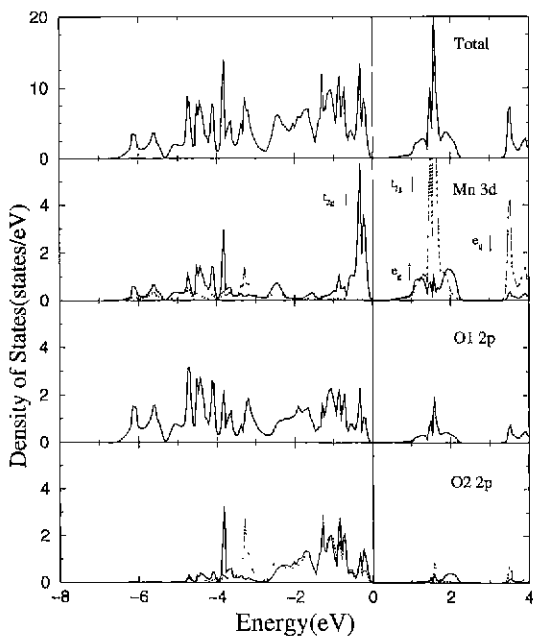


Fig. 2. Total density of states and muffin-tin projected density of states of  $\beta\text{-Sr}_2\text{MnO}_4$ . Solid and dotted lines of 2nd and third figure represent projected density of states for up spin and down spin, respectively

개의 전자가 d 에너지 띠를 채우게 된다. 그래서 고체인 경우 상태밀도에서 보면 띠간격(band gap)은 위스핀(up spin) 상태의  $t_{2g}$  에너지 띠와  $e_g$  에너지 띠 사이에 나타나게 된다. Hund의 법칙에 따라 3개의 전자는 고스핀(hight spin) 상태로 배열하여 Mn 원자는  $3\mu_B$ 의 자기모멘트를 가지게 되나, 고체 내에서 FLAPW 방법으로 계산 된 값은 그보다 작은  $2.41\mu_B$ 를 얻을 수 있었다. 이 값은 실험치 ( $2.42\mu_B$ )[7]와 완전하게 일치 함을 보여 주었고, Pickett 등이 계산한  $\text{CaMnO}_3$ 과 비교할 때 조금 작은 값을 보여 주고 있다.

Fig. 3은  $\beta\text{-Sr}_2\text{MnO}_4$ 의 에너지 띠 모양을 표시한다. 1.5 eV 영역의 평탄한 에너지 띠는 아래 스핀 상태의  $t_{2g}$  성분의 에너지 띠를 나타내고 있다. 0에서 2 eV 사이에 넓게 분포한 에너지 띠는 위스핀  $e_g$  성분의 반결합 상태의 에너지 띠를 나타낸다.

Fig. 4은  $\text{LaSrMnO}_4$ 의 전 상태밀도와 Mn, O<sub>1</sub>, O<sub>2</sub> Muffin-tin 구 내부의 상태밀도를 표시하였다. La 원자를 Sr 원자 대신 치환한  $\text{LaSrMnO}_4$ 는 Mn<sup>3+</sup>을 가지기 때문에  $\beta\text{-Sr}_2\text{MnO}_4$  보다 1 전자 높은 Fermi 준위를 가진다. 그러나 La 원자 치환에 의하여 단순히 Fermi 준위가 이동하는 것이 아니라, Mn<sup>3+</sup>의 자기모멘트 증가에 의해 아래 스핀

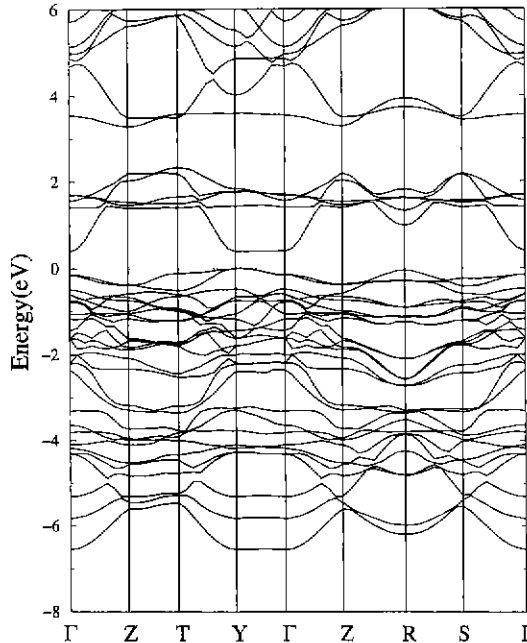


Fig. 3. Energy band structure of  $\text{Sr}_2\text{MnO}_4$ .  $\Gamma$ , Z, T, Y, R, S represent (0 0 0), (0 0 1/2), (0 1 1/2), (0 1 0), (1/2 1/2 1/2), (1/2 1/2 0)  $k$ -points in Brillouin zone, respectively.

의 PDOS도 높은 에너지 상태로 이동하는 것을 그림 4에서 볼 수 있다. 고스핀 상태로 배열할 때 Mn<sup>3+</sup> 원자는  $4\mu_B$ 의 자기모멘트를 가지게 되나, 고체 내에서 FLAPW 방법으로 계산 된 값은 그보다 작은  $3.06\mu_B$ 를 얻을 수 있었다. 그러나, 실험치에서는  $0.8\mu_B$ [9] 밖에 되지 않았다. 같은 Mn<sup>3+</sup>를 가지는  $\text{LaMnO}_3$ 에서는  $3.89\mu_B$ 의 high spin 상태를 보이고 있어, Mn 원자의 전자가 저스핀 상태로 정렬하는 것은 의외의 것으로 정밀한 실험을 요하고 있다.

Mn-O 팔면체에서 Mn-O<sub>6</sub> 원자 사이의 거리 증가에 의해 eg 궤도의 분리( $x^2-y^2$ ,  $3z^2-r^2$ )가 일어나고, c축으로의 Mn  $3z^2-r^2$ 와 O의 2p<sub>z</sub> 궤도와의 결합이 약해져 이 에너지 띠는 Mn  $x^2-y^2$ 와 O p<sub>x,y</sub> 궤도 결합에 의한 에너지 띠 밑에 존재하는 것을 볼 수 있다(Fig. 5). 따라서 Fig. 4의 Mn PDOS에서 Fermi 준위 바로 밑에 국재된 상태밀도를 볼 수 있으며 Jahn-Teller distortion에 의한  $e_g$  궤도의 분리가 일어난다. 이와 같은 궤도 분리에 의해 전자는  $3z^2-r^2$  에너지 띠를 채워  $3z^2-r^2$  궤도 정렬(orbital ordering)을 보여준다(Fig. 6).  $\text{LaMnO}_3$ 에서 야안-텔러 왜곡에 의해 면내에서  $3x^2-r^2$ ,  $3y^2-r^2$  궤도 정렬을 나타내는 것과는 다른 형태를 보여주고 있다.

실험에서  $\text{LaSrMnO}_4$ 는 반강자성 부도체이나[10],

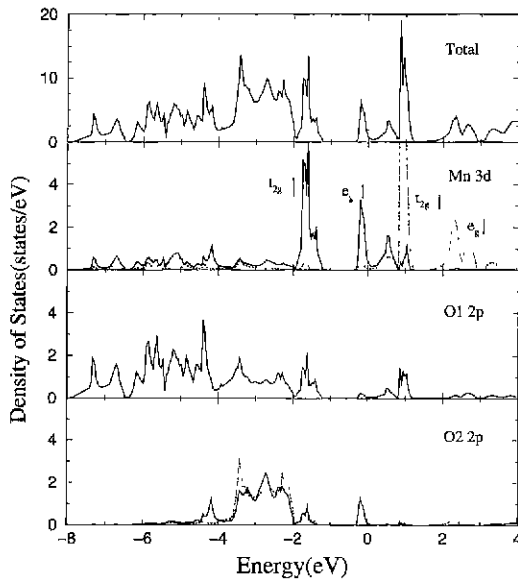


Fig. 4. Total density of states and muffin-tin projected density of states of  $\text{LaSrMnO}_4$ . Solid and dotted lines of 2nd and third figure represent projected density of states for up spin and down spin, respectively.

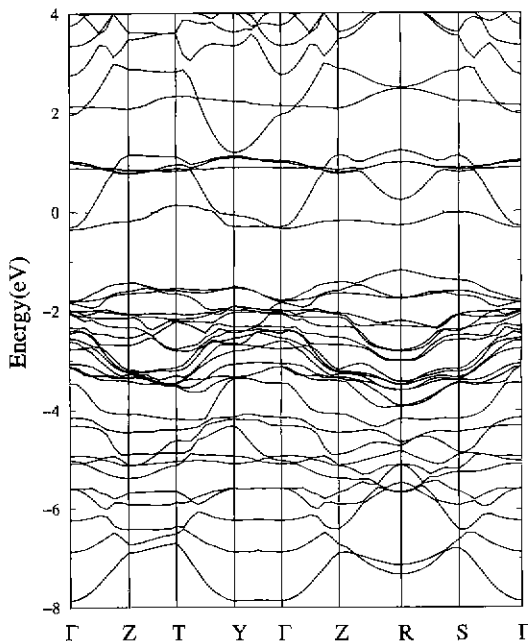


Fig. 5. Energy band structure of  $\text{LaSrMnO}_4$ .  $\Gamma$ , Z, T, Y, R, S represent  $(0\ 0\ 0)$ ,  $(0\ 0\ 1/2)$ ,  $(0\ 1\ 1/2)$ ,  $(0\ 1\ 0)$ ,  $(1/2\ 1/2\ 1/2)$ ,  $(1/2\ 1/2\ 0)$   $k$ -points in Brillouin zone, respectively.

FLAPW 계산에서는 위 궤도의 분리가 에너지 캡을 나타낼 만큼 불충분하여 Fermi 준위에서 작은 DOS를 가지는

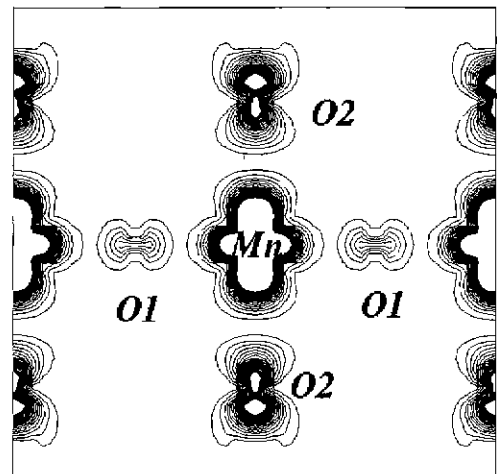


Fig. 6. The charge density plot of (110) plane for  $\text{LaSrMnO}_4$  near Fermi level ( $0 \geq E \geq -0.5$  eV).

금속 성질을 나타내고 있다. 이것은 계산에서 사용된 국소스핀 밀도 근사(local spin density approximation)의 문제점이다. 반도체나, 상관효과가 큰 전이금속 산화물에서의 에너지 캡이 실험치보다 작거나, 나타나지 않는 문제점이다[11].

$\text{LaSrMnO}_4$ 에서 반강자성 상태의 안정성을 보기 위하여 FLAPW 방법으로 전에너지 계산을 행하였다. 강자성 상태일 때의 전 에너지와 반강자성 상태의 전 에너지를 실험치의 결정구조에서 구하였다. 그 결과 반강자성 상태의 전 에너지가 단위 셀당 25.8 meV 더 낮은 에너지를 가져 이 물질에서 반강자성 기저상태가 안정됨을 볼 수 있었다. 이 에너지를 분자장 근사를 이용하여 최근접원자 단을 고려하면

$$H = - \sum_{j=1}^4 J(\vec{S}_i \cdot \vec{S}_j) \quad (1)$$

에서  $E(F) = -4JS^2$ ,  $E(AF) = 4JS^2$ 을 얻을 수 있다. 여기에서  $J$ 는 교환 상호작용 계수이고  $E(F)$ 와  $E(AF)$ 는 강자성 상태와 반강자성 상태의 에너지를 나타낸다. FLAPW 방법에 얻은 에너지 차로 위 식에서  $J = -0.40$  meV로 계산되었다. Neel 온도( $T_N$ )는

$$T_N = \frac{2S(S+1)}{3k_B} (-4J) \quad (2)$$

에서 150 K를 얻을 수 있었다. 이  $T_N$ 은 실험치 180 K와 비슷하였다. 그러나 일반적으로 분자장 근사로 얻어진

Neel 온도가 크게 나타나기 때문에 실제의 에너지는 더 큰 차이가 있을 것으로 예측된다. 이와 같은 오차는 결정구조를 상온에서의 결정상수를 사용한 것과 에너지 갭이 나타나지 않는 국소 스핀 밀도 균사에 의한 오차로 여겨진다.

$\text{LaMnO}_3$ 은 A-type의 반강자성을 가져 면내에서는 강자성구조를 가지고 야안-텔러 왜곡에 의해  $3x^2-r^2$ ,  $3y^2-r^2$ 의 궤도 정렬을 이루고 있다. 이와 같은 궤도정렬이 면내의 강자성 구조와 c축으로의 반강자성(A-type) 구조와 관련이 있는 것을 최근 모델 하밀 토너인을 사용한 계산에서 보여 주고 있다[12, 13] 그러나 2차원 구조의  $\text{LaSrMnO}_4$ 는 면내에서 반강자성 형태의 자기구조를 가지고 있는 것을 볼 수 있다. 이것은  $\text{LaSrMnO}_4$ 에서는 c축으로의 정점의 산소의 Jahn-Teller distortion에 의해  $3z^2-r^2$  궤도 정렬에 의해 면내의 반강자성 상태가 낮은 에너지를 가지게 되는 것으로 예측된다. 이런 2차원 자기구조에서, 궤도 정렬과 야안-텔러 왜곡이 자기구조에 미치는 영향은 앞으로 많은 연구를 필요로 하고 있다.

#### IV. 결 론

층상 페로브스카이트형 구조를 가진 망간 산화물의 전자구조를 이해하기 위하여 단일 층상을 가진  $\text{LaSrMnO}_4$ 의 전자구조를 제1원리의 국소 밀도 범함수 이론을 근거로 사용하는 FLAPW 방법으로 구하였다. 또한 훌 놓도 변환에 따른 자기구조의 변화의 이해를 위해  $\text{Mn}^{4+}$ 의  $\text{Sr}_2\text{MnO}_4$ 의 전자구조 계산을 행하여 전자 구조를 비교하였다. 그 결과,  $\text{SrMnO}_4$ 에서 band gap은 up spin 상태의  $t_{2g}$  에너지 띠와  $e_g$  에너지 띠 사이에 나타나고,  $\text{LaSrMnO}_4$ 에서는 Jan-Teller distortion에 의한  $3z^2-r^2$ ,  $x^2-y^2$  궤도 분리에 의해 나타났다.

총에너지 계산으로  $\text{LaSrMnO}_4$ 는 반강자성 구조가 강자성 구조보다 25.8 meV 더 낮은 에너지를 가지는 것을 얻었다. 이것은  $\text{LaSrMnO}_4$ 에서 Mn-O 팔면체의 c축으로의 야안-텔러 왜곡에 의한 에너지 갭과  $3z^2-r^2$  궤도 정렬에 따른 에너지 안정성으로 설명할 수 있었다.

#### 감사의 글

본 논문은 1997년도 교육부 기초과학 육성 연구비의 지원(과제번호 BSRI-97-2430)과 일부 과학재단 특정기초 연구비 지원(과제번호 97-0702-0401-5)에 의한 결과입니다.

#### 참 고 문 헌

- [1] R. M. Kusters *et al.*, Physica B **155**, 362(1989).
- [2] J. B. Torrance *et al.*, Phys. Rev. B **45**, 8209(1992).
- [3] Y Moritomo, A. Asamitsu, H. Kuwahara, and Y Tokura, Nature **380**, 141(1996).
- [4] P. Hohenberg and W. Kohn, Phys. Rev. **136**, 864 (1964).
- [5] M. Weinert, E. Wimmer and A. J. Freeman, Phys. Rev. B **26**, 4571(1981).
- [6] M. Weinert, J. Matt. Phys. **22**, 2433(1981).
- [7] J. Bouloix, J. Soubeyroux, G. Le Flem and P. Hagenguller, J. Solid State Chem. **38**, 34 (1981).
- [8] J. Bouloix, J. Soubeyroux, A. Daoudi and G. Le Flem, Mat. Res. Bull. **16**, 855(1981)
- [9] S. Kawano, N. Achiwa, N. Kamegashira and M. Aoki, Journal De Physique **C8**, 829(1988).
- [10] Y. Moritomo *et al.*, Phys. Rev. B **51**, 3297 (1995).
- [11] K. Terakura, A. R. Williams, T. Oguchi and J. Kübler, Phys. Rev. Lett. **52**, 1830(1984).
- [12] A. J. Millis, Phys. Rev. B **55**, 6405(1997).
- [13] R. Maezono, S. Ishihara and N. Nagaosa, Phys. Rev. B **58**, 11583(1998).

## The Electronic Structure Calculation of Layered Mangan Oxides

Key-Taeck Park

Department of Physics, Kookmin University, Seoul 136-702, Korea

(Received 16 March 1999, in final form 7 May 1999)

The electronic structures and properties of layered perovskite  $\text{LaSrMnO}_4$  and  $\text{Sr}_2\text{MnO}_4$  have been determined using the local-density full potential linearized augmented plane wave method. The total energy calculations show that the antiferromagnetic state has lower energy than the ferromagnetic state in  $\text{LaSrMnO}_4$ . The Jahn-Teller distortion of Mn-O octahedron produces the energy gap and the  $3z^2-r^2$  orbital ordering, which stabilizes 2 dimensional antiferromagnetic state.